

가막만에서 분리한 유해성 침편모조류 *Chattonella marina* (Subrahmany) Hara et Chihara (Raphidophyceae)의 성장에 미치는 수온, 염분 및 빛의 영향

노일현 · 윤양호* · 김대일¹ · 오석진²

전남대학교 대학원 수산과학과, ¹해양경찰청 해양오염관리국, ²부경대학교 해양과학공동연구소

Effects of Water Temperature, Salinity and Irradiance on the Growth of the Harmful Algae *Chattonella marina* (Subrahmany) Hara et Chihara (Raphidophyceae) Isolated from Gamak Bay, Korea

Il Hyeon NOH, Yang Ho YOON*, Dae-Il KIM¹ and Seok Jin OH²

*Department of Fisheries Science, Graduate School of Chonnam National University,
Yeosu 550-749, Korea*

¹*Marine Pollution Control Bureau, Korea Coast Guard, Incheon 406-741, Korea*

²*Korea Inter-University Institute of Ocean Science, Pukyong National University,
Daejeon-dong, Nam-gu, Busan 608-737, Korea*

The effects of water temperature, salinity and irradiance on the growth of harmful algae *Chattonella marina* isolated from Gamak Bay in South Sea, Korea were investigated. *C. marina* was able to grow in temperatures of 15-30°C and salinities of 10-35 psu. Maximum specific growth rate (0.64/day) was observed with combination of 25°C and 25 psu. Optimal growth ($\geq 70\%$ of maximum specific growth rate) was obtained with all salinities of the above 20°C. This result indicated that *C. marina* is a stenothermal of the high water temperature and euryhaline organism. *C. marina* did not grow at irradiance $\leq 10 \mu\text{mol photons}/(\text{m}^2 \text{s})$. Photoinhibition did not occur at $300 \mu\text{mol photons}/(\text{m}^2 \text{s})$, which was the maximum irradiance used in this study. The irradiance-growth curve was described as $\mu=0.78(I-11.4)/(I+34.1)$ at 25°C and 25 psu. The half-saturation photon flux density (PFD) (K_s) was $56.9 \mu\text{mol photons}/(\text{m}^2 \text{s})$ and compensation PFD (I_c) was $11.4 \mu\text{mol photons}/(\text{m}^2 \text{s})$. The result of the present study indicate that *C. marina* has advantage physiological characteristic to the interspecific competition at the embayment and costal areas of South and West Sea, Korea in summer.

Key words: *Chattonella marina*, Specific growth rate, Gamak Bay, Harmful algae, HABs

서 론

산업발달과 인구증가로 인한 연안해역의 부영영화는 범지구적인 현상이며, 이와 관련한 유해·유독 플랑크톤의 대발생 (Harmful Algae Blooms, HABs)은 해양생태계 및 인류 건강에 상당한 위협을 주고 있다 (Anderson, 1989; Hallegraeff, 1993). HABs 대표종인 침편모조류 *Chattonella marina* (Subrahmany) Hara et Chihara는 *Chattonella antiqua*와 함께 brevetoxins (BTX) 계와 유사한 지용성 신경독을 생산하는 종으로 (Onoue et al., 1990; Ahmed et al., 1995), 어류의 섭이와 호흡시 유리지방산 (free fatty acids)과 활성산소 (reactive oxygen species)에 의한 지질 과산화작용으로 삼투압 장애를 불러일으켜 어류를 폐사시킨다 (Shimada et al., 1983; Oda et al., 1992; Marshall et al., 2003; Tang et al., 2005). 이와 같이 어류에 치명적일 수 있는 *C. marina*에 의한 적자는 인도 Malabar 연안에서 처음으로

발생하여 어류의 집단 폐사를 일으켰다 (Subrahmany, 1954). 이후 *C. marina*를 비롯한 *Chattonella* spp.는 일본의 부영영화된 내만해역을 중심으로 적자를 형성하여 막대한 수산피해를 발생시키고 있으며 (Imai et al., 1986; Okaichi, 1989; Yamaguchi et al., 1991; Hiroshi et al., 2005), 이 외에도 중국, 동아시아, 호주, 미국, 남부 브라질 그리고 네덜란드 등 범지구적인 출현 양상과 대발생이 보고되고 있다 (Tseng et al., 1993; Obedrech and Abreu, 1995; Vrieling et al., 1995; Zhang et al., 2006). 이에 따라 최근, UNESCO 산하의 IOC에서는 *C. marina*를 국제적인 협력관리 및 주시대상 종에 해당하는 유해·유독 조류로 분류하고 있다.

한편, Hara et al. (1994)에 따르면, 세계적으로 *Chattonella* 속은 현재 *C. marina*를 비롯하여 *C. antiqua*, *C. globosa*, *C. minima*, *C. ovata*, *C. subsalsa* 및 *C. verruculosa* 등 7종이 보고되고 있으며, 이중 *C. marina*를 비롯해 *C. antiqua*, *C. globosa* 및 *C. ovata* 등 4종이 한국 연안에서 출현하고 있다 (Kim et

*Corresponding author: yoonyh@chonnam.ac.kr

al., 2005). 우리나라에서의 *Chattonella* 속에 대한 기록은 1983년 전동만에서 *Chattonella* sp.에 의한 첫 적조가 보고되었으나 (Park et al., 1988), 적조에 의한 어폐류의 폐사 등의 수산피해 기록은 없었다. 이후 *Chattonella* 속 출현과 관련한 기록은 보이지 않다가, 2004년 이후 남해와 서해를 중심으로 재차 출현이 확대·증가되는 양상을 나타내었다 (Kim et al., 2005; 국립수산과학원 홈페이지 <http://ssfri.nfrdi.re.kr>). 특히, 2005년 하계 한국 남서해역인 장흥연안과 완도 신지도 및 고홍 거금도 해역을 중심으로 *C. antiqua*가 고밀도로 출현 (최대 850 cells/mL) 하여 *Cochlodinium polykrikoides*와 함께 장기간에 걸친 혼합적조를 형성하였고, 2006년 하계 역시 *Chattonella* spp.가 서해 태안군 안면도 일원에서 고밀도로 출현하여 (최대 3,000 cells/mL, 국립수산과학원 홈페이지 <http://ssfri.nfrdi.re.kr>) 관련 수산업 종사자와 연구자들을 긴장시키고 있다.

해양에서 식물플랑크톤 세포수의 급속한 증가는 적조발생의 필수요인이기에 대상 생물의 성장에 영향을 미치는 환경 조건과 생태·생리학적 특징을 파악하는 것은 무엇보다 중요하다. 특히, 대상 종이 가지는 수온과 염분 및 빛의 최적조건은 그 종의 성장에 대단히 중요한 조건이 된다. 국외에서 분리된 *C. marina*의 수온, 염분 및 빛에 대한 중식 생리특성의 경우, 호주 Boston Bay와 일본 Seto Inland Sea의 Suo-Nada에서 각각 분리된 종들의 최적 성장조건에 있어서 Boston Bay 분리주가 10 psu 정도 높은 염분을 필요로 한 반면, 최대 성장 속도는 Suo-Nada 분리주가 월등히 높은 것으로 보고되었다 (Yamaguchi et al., 1991; Marshall and Hallegraeff, 1999). 빛에 대한 성장조건 역시 차이를 보여, 일본 Kagoshima Bay 분리주가 20 $\mu\text{mol photons}/(\text{m}^2 \text{s})$ 에서 성장이 가능하며, Suo-Nada 분리주의 경우 보상광량 (I_c)이 10.5 $\mu\text{mol photons}/(\text{m}^2 \text{s})$ 로 매우 낮은 반면, Boston Bay 분리주의 I_c 는 25 $\mu\text{mol photons}/(\text{m}^2 \text{s})$ 로 2배 이상의 높은 값을 나타내어 각기 다른 환경에 대한 중식 생리특성에 차이를 보이는 것으로 나타났다. 또한 일반적으로 동일종이라 할지라도 규조류인 *Skeletonema costatum*의 경우 역시 분리주에 따라 많은 생리적 차이를 보이는 것으로 알려져 있기에 (Gallagher, 1982), 최근 우리나라 연안 해역에서 출현이 확대·증가되고 있는 *C. marina*에 대한 중식 생리 특성을 파악하는 것은 무엇보다 중요하다고 판단된다.

본 연구는 남해 가막만에서 분리한 *C. marina*의 최적 성장에 영향을 주는 수온, 염분 및 빛의 조건을 파악하였다.

재료 및 방법

*Chattonella marina*의 분리와 전 배양조건

2004년 7월 한국 남해 중앙부에 위치한 가막만의 어류 해상가두리양식장이 밀집한 화태도 인근 해역에서 표층해수를 채수하였다. *C. marina*의 세포는 pasteur pipette (ca. Ø 50-100 μm)으로 분리하였다 (Guillard, 1995). 분리된 세포는 여과해수 (Membrane filter, pore size 0.45 μm ; 32.5 psu)를 이용해 3-4회 반복 세척한 후 CmGM-0407 분리주를 확립하여 배양튜브

(Costal Co., NY-14831)에 이식하였다. 사용된 배지는 남해 외양수를 바탕으로 한 32.5 psu의 개량형 SWM-3 배지 (Itoh and Imai, 1987)로 pH는 1 N-HCl과 1 N-NaOH를 이용하여 8.2로 조정하여 사용하였다. 전 배양시 온도와 광 조건은 25°C, 130 $\mu\text{mol photons}/(\text{m}^2 \text{s})$ (12L:12D; cool-white fluorescent lamp)에서 실시하였다. *C. marina*에 대한 무균화 처리는 하지 않았지만, 2차 생물학적 오염을 막기 위해 모든 실험기구는 고압멸균 (202 kpa, 20 min) 및 건열멸균 (120°C, 3 hr)하여 사용하였다.

수온과 염분 단계별 성장속도 변화

수온과 염분에 따른 성장실험 장치는 수온 10, 15, 20, 25 및 30°C의 5단계, 염분은 10, 15, 20, 25, 30 및 35 psu의 6단계를 조합한 총 30 단계의 조합조건에서 성장속도를 관찰하였다. 배양실험에 사용한 배양기는 설정온도에서 $\pm 1^\circ\text{C}$ 의 편차를 가진 온도구배항온기 (Vision Co., VS-3DM)를 이용하였다. 염분농도 조절을 위해 10-30 psu는 초순수이온수를 첨가하였고, 35 psu는 60°C로 설정한 교반기를 이용해 증발시켰다.

수온과 염분의 급격한 변화에 의한 접종 생물의 충격을 줄이기 위해서 수온 25°C, 염분 32.5 psu, 광 조건 130 $\mu\text{mol photons}/(\text{m}^2 \text{s})$ 하에서 전 배양을 실시하여 얻은 대수성장기 세포를 1-2개월에 걸쳐 희망 수온과 염분 조건에 순차적으로 옮겨서 미리 순응시켰으나, 10°C 하의 모든 염분조건에서 세포 성장이 이루어지지 않아 성장률을 0/day로 간주하였다.

각각의 수온과 염분 단계에서 적응된 세포는 25 cm^3 용적의 배양 플라스크 (Sarstept Inc. Co., NC-28658)에 개량형 SWM-3 배지 25 mL를 주입한 후, 세포밀도가 약 100 cells/mL가 되도록 접종하였고, 광학현미경 (Nikon, Optiphot-2)하에서 Sedwick-Rafter counting chamber를 이용하여 2일 간격으로 직접검경에 의해 세포의 중식속도를 관찰하였다. 또한 배양실험시 광 조건은 배양기 위치에 따라 광량이 조금씩 변하기에 1일 2회 배양용기의 위치를 달리함과 동시에 세포의 접액질 생산에 의한 세포 응집을 방지하기 위해 부드럽게 흔들어 주었다. 각 수온과 염분 조합의 실험은 triplicate로 수행하였으며, 성장속도는 평균값으로 나타내었다. 다만, triplicate 중 명확히 오류로 판단된 값은 평균시 제외하였다.

세포의 비성장속도 (μ)는 대수성장기 (exponential growth phase) 동안의 세포수에 대해 아래의 식을 이용해 계산하였다.

$$\mu = \frac{1}{\Delta t} \ln \frac{N_t}{N_0}$$

N_0 , N_t : 대수성장기의 초기와 t 시간 (day) 후의 세포밀도 (cells/mL)

Δt : 대수성장기 배양시간(day)

한편, *C. marina*의 중식에 영향을 미치는 수온과 염분의 관계를 파악하기 위해 다음과 같은 다항식을 표현하여 *C. marina*의 출현 모델을 예측하여 계산하였으며, 제 3차 항까지

변수감소법에 따른 중회귀분석을 실시하였다.

$$\mu = \beta_{00} + \beta_{10} \cdot T + \beta_{20} \cdot T^2 + \beta_{30} \cdot T^3 + \beta_{01} \cdot S + \beta_{02} \cdot S^2 + \beta_{03} \cdot S^3 + \beta_{11} \cdot T \cdot S + \beta_{12} \cdot T \cdot S^2 + \beta_{21} \cdot T^2 \cdot S + \dots + \beta_{nn} \cdot T^n \cdot S^n + \varepsilon$$

μ : 성장속도 (specific growth rate/day)

T: 수온 (water temperature; °C)

S: 염분 (salinity; psu)

β_m : 회귀계수 (regression coefficient)

ε : 오차항 (error term)

광 조건에 따른 성장속도 변화

광 조건에 따른 성장속도 역시 광학현미경을 이용한 직접 검정으로 평가하였다. 수온과 염분 단계별 성장실험과 동일한 조건에서 전 배양을 실시하여 세포밀도 약 8.0×10^3 cells/mL까지 성장시켰다. 이후 이 대수성장기 세포를 25 cm^3 용적의 배양 플라스크에 개량형 SWM-3 배지 25 mL를 주입한 후, 세포밀도가 약 100 cells/mL 정도 되게 접종하였다. 광 조건은 25°C, 25 psu 하에서 10, 30, 50, 70, 90, 110, 130, 150, 200, 250 그리고 $300 \mu\text{mol photons}/(\text{m}^2 \text{s})$ 의 11단계로 하였다. 배양 기간 중 매일 2회씩 배양용기의 위치를 달리하여 배양기 내 광량의 편차를 최소화 하였다. 이 실험 또한 triplicate로 수행하였다. 성장속도와 광량과의 관계는 Lederman and Tett (1981)의 모델을 개량한 아래의 식을 이용하여 계산하였다.

$$\mu = \mu_m \frac{I - I_c}{(K_s - I_c) + (I - I_c)}$$

μ : 성장속도 (specific growth rate/day)

I: 광량 (irradiance; $\mu\text{mol photons}/(\text{m}^2 \text{s})$)

I_c : 보상광량 (compensation photon flux density; $\mu\text{mol photons}/(\text{m}^2 \text{s})$)

μ_m : 최대 성장속도 (maximum specific growth rate/day)

K_s : 반포화광량 (half-saturation light intensity; $\mu\text{mol photons}/(\text{m}^2 \text{s})$)

결 과

수온과 염분단계별 성장속도

*C. marina*의 성장에 대한 수온과 염분단계별 영향은 수온 10°C의 모든 염분조건과 수온 15°C의 염분 10 psu를 제외한 수온과 염분범위에서 성장하는 것으로 나타났다. 성장이 이루어진 각 단계별 조합 중 수온 조건에 따른 염분 구별 성장속도의 범위를 살펴보면, 수온 15°C에서는 $0.02-0.11/\text{day}$ ($0.09 \pm 0.04/\text{day}$; 10 psu에서는 성장이 이루어지지 않아 제외함), 20°C에서는 $0.24-0.37/\text{day}$ ($0.32 \pm 0.05/\text{day}$), 25°C에서는 $0.43-0.64/\text{day}$ ($0.55 \pm 0.07/\text{day}$) 그리고 30°C에서는 $0.40-0.55/\text{day}$ ($0.49 \pm 0.07/\text{day}$)로 나타났다 (Fig. 1). 또한 수온과 염분에 대한 성장속도를 contour plotting으로 표현한 결과 수온이 높을수록 성장속도가 증가하여 수온 25-30°C에서 높은 성장률을 보였고,

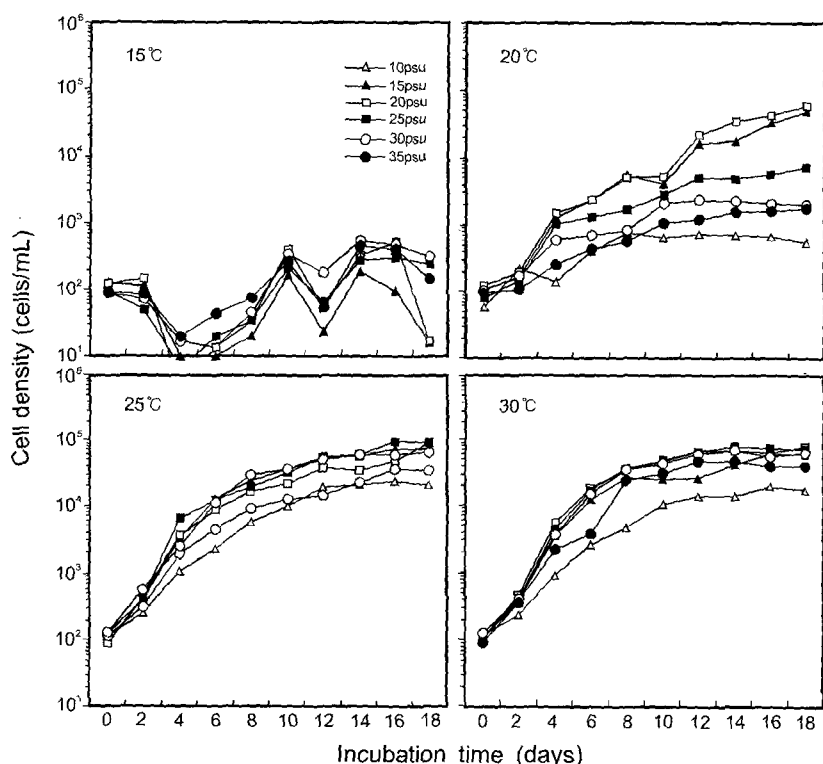


Fig. 1. Growth curves of *Chattonella marina* grown at various water temperature and salinity combinations. Each symbol represents the average of triplicate data. pH 8.2, $130 \mu\text{mol photons}/(\text{m}^2 \text{s})$ (12L: 12D; cool-white fluorescent lamp).

최대 성장속도는 수온 25°C, 염분 25 psu에서 0.64/day로 나타났다 (Fig. 2). *C. marina*의 배양실험으로 얻어진 성장속도에 따른 수온과 염분의 조건을 이용한 이원 배치 분산분석 (two-factor ANOVA) 결과, 0.001% 수준 내에서 *C. marina*의 성장속도에 대한 수온과 염분의 유의한 영향을 나타내었다. 수온과 염분 및 그들의 교호작용의 제곱 합 (sum of squares)은 총 제곱 합 (total sum of squares)에서 각각 90.6%, 2.3% 및 5.5%를 설명하고 있기에 *C. marina*의 성장속도는 수온에 크게 의존할 뿐 염분과 교호작용의 영향은 매우 작은 것으로 나타났다 (Table 1). 또한 중화귀분석에 의해 예측모델식을 계산한 결과 아래의 식을 얻을 수 있었다.

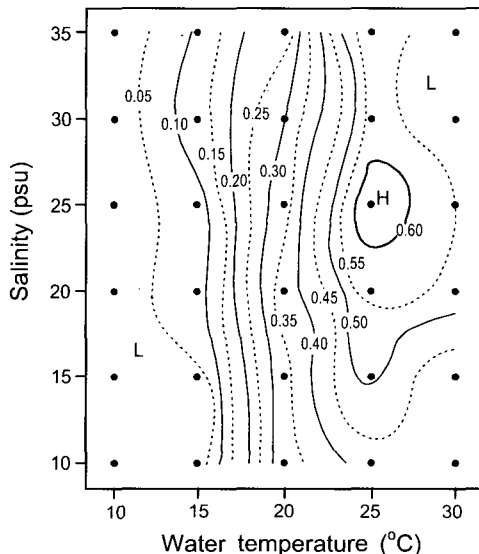


Fig. 2. Contour plots of specific growth rate/day of *Chattonella marina* as a function of temperature and salinity.

Table 1. Summary of two-way analysis of variance (ANOVA) of the population growth rate of *Chattonella marina* as a function of temperature, salinity and their interaction

Source of variation	d.f.	Sum of squares	Mean square	F
Temperature	4	4.383	1.096	957.576*
Salinity	6	0.110	0.018	15.979*
Interaction	24	0.267	0.011	9.729*
Error	70	0.080	0.001	
Total	104	4.893		

*p<0.001.

$$\mu = 1.157 - 0.293T + 0.018T^2 - 0.00031T^3 + 0.001TS + 0.0000068T^2S - 0.00001851TS^2$$

구해진 모델식의 보정된 R^2 값은 0.959로, 배양실험 결과의 실측값과 예측값 사이에 높은 상관계수 ($r=0.976$)를 나타내고 있어, *C. marina*의 성장에 광 조건과 영양염 제한요인 등과 같은 환경변수들을 배제할 경우 현장의 수온과 염분 농도를 이용해 종의 성장속도를 추정할 수 있다 (Fig. 3).

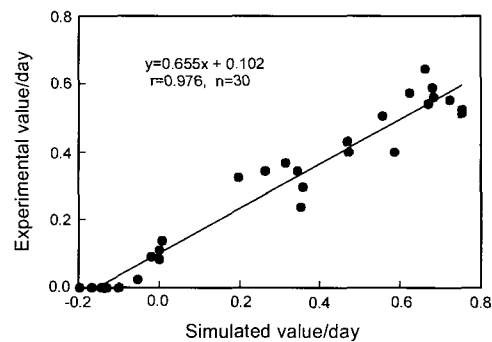


Fig. 3. Relationship between experimental value and simulated value of growth rate in *Chattonella marina*.

광 조건에 따른 성장속도

*C. marina*는 10 $\mu\text{mol photons}/(\text{m}^2 \text{s})$ 의 광 조건에서는 성장하지 않았고, 30 $\mu\text{mol photons}/(\text{m}^2 \text{s})$ 부터 성장이 이루어졌으나 최대 세포밀도는 477 cells/mL로 낮게 나타났다. 그러나 50-70 $\mu\text{mol photons}/(\text{m}^2 \text{s})$ 에서 각각 2.3×10^4 와 2.6×10^4 cells/mL까지 증가했으며, 90-300 $\mu\text{mol photons}/(\text{m}^2 \text{s})$ 에서는 6.0×10^4 - 8.9×10^4 cells/mL까지 세포밀도가 크게 증가하였다 (Fig. 4, A). 또한 성장이 이루어진 광 조건 (30-300 $\mu\text{mol photons}/(\text{m}^2 \text{s})$)에서 성장속도의 범위는 0.17-0.63/day로 나타났으나, 성장 포화상태를 보인 90 $\mu\text{mol photons}/(\text{m}^2 \text{s})$ 이상의 광량에서 성장속도는 거의 유사하였다 (Fig. 4, B). 광 조건에 의해 유도된 성장식은 아래와 같다.

$$\mu = 0.78 \frac{I - 11.4}{I + 34.1} \quad (r = 0.976)$$

여기서 μ_m 은 0.78/day, I_c 는 11.4 $\mu\text{mol photons}/(\text{m}^2 \text{s})$ 그리고 K_s 는 56.9 $\mu\text{mol photons}/(\text{m}^2 \text{s})$ 로 나타났다.

고 찰

남해 가막만에서 분리한 *C. marina*는 수온 15-30°C, 염분 10-35 psu 범위에서 성장이 가능하였으며, 최대 성장속도 (0.64/day)는 수온 25°C와 염분 25 psu에서 관찰되었다. 이와 같이 성장이 가능한 수온과 염분의 범위는 일본 Suo-Nada 와 Kagoshima Bay 분리주와 동일하였으나, 호주 남부 Boston Bay 분리주 보다는 조금 더 높은 수온 및 낮은 염분에서 성장이 가능하였다 (Table 2). 그리고 일본 Suo-Nada와 Kagoshima Bay 분리주가 25°C, 20 psu에서, 호주 Boston Bay 분리주가 25°C, 30 psu에서 최대 성장속도를 보여 최적 수온조건은 동일한 반면, 염분조건은 분리주에 따라서 다소 차이를 보였다 (Table 2). 이 외에 가막만의 *C. marina*는 동 속인 *C. antiqua* (일본 Suo-Nada 분리주)와 *C. subsalsa* (미국 Delaware Inland Bay 분리주)의 최대 성장속도 시의 수온, 염분 조건과 유사한 반면, 15°C, 25 psu에서 매우 빠른 성장속도를 보인 *C. verruculosa* (일본 Hiroshima Bay 분리주)보다는 최적 수온이 크게 높은 것으로 나타났다 (Table 2). 또한 여러 유해성 와편

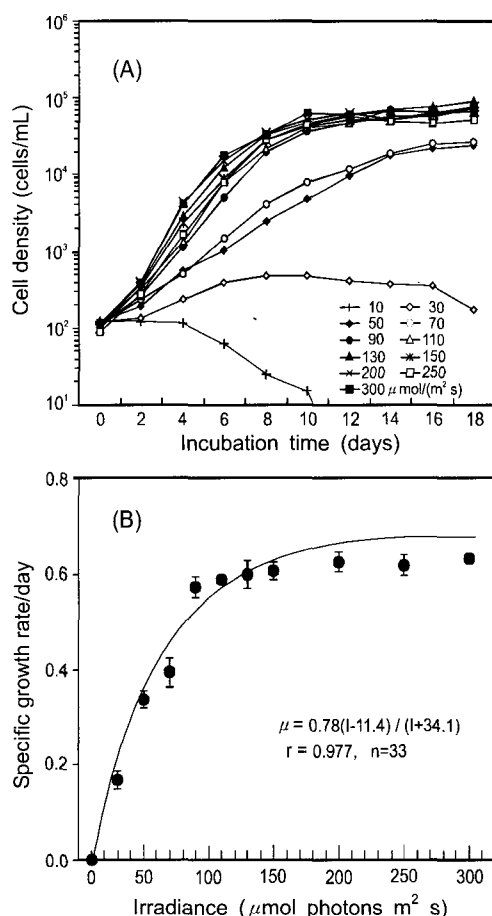


Fig. 4. Growth curves (A) and specific growth rate/day (B) of *Chattonella marina* as function of light intensities at constant temperature and salinity.

모조류와 비교하면, 가막만의 *C. marina*는 *Alexandrium tamarensense*와 *Gyrodinium aureolum*보다 높은 수온에서, *A. tamarensense*, *Heterocapsa circularisquama*, *Gymnodinium catenatum* 및 *Cochlodinium polykrikoides*보다 낮은 염분 조건에서 최대 성장속도를 나타내고 있으며, *Karenia mikimotoi*와 *H. circularisquama*를 제외한 다른 종들에 비해서 최대 성장 속도가 빠른 것을 알 수 있었다 (Table 2). Kahn et al. (1998)은 *C. marina*의 대발생에 있어 가장 중요한 환경요인은 수온이라고 보고했다. 최근 우리나라 여수연안에서 *C. marina*를 비롯한 *Chattonella* spp.는 20.8-28.4°C 범위에서 출현하였으며 (Kim et al., 2005), 남해의 장흥, 완도 및 고흥 연안해역과 서해 태안군 안면도 일원에서 약 22.1-23.1°C 범위에서 *Chattonella* spp.에 의한 적조 (1,000-3,000 cells/mL)가 발생하였다 (국립수산과학원 홈페이지 <http://ssfri.nfrdi.re.kr>). 이와 같은 수온 범위는 본 연구의 실내 실험의 결과로 나타난 최대 성장속도의 약 70%에 해당하는 것으로 배양실험 결과와 잘 일치한다. 또한 성장에 대한 최적수온은 *C. marina* cyst가 높은 발아율을 보이는 수온범위 (20-25°C; Imai and Itoh, 1987;

Imai et al., 1991)와 유사하기에, 발아된 유영세포가 빠른 시일 안에 대발생 할 수 있음을 암시한다. 한편, 일본 Seto Inland Sea에서 *C. marina*는 우리나라와 유사한 23°C 이상의 수온에서 적조를 형성 (Imai et al., 1986)한 반면, 네덜란드 연안과 호주 Boston Bay에서는 이보다 낮은 18°C 이하에서도 대발생이 가능한 것으로 보고되었다 (Vrieling et al., 1995; Marshall and Hallegraeff, 1999). 즉 같은 종이라 할지라도 각 분리주에 따른 생리적 차이는 개체군 특성을 구별하는 중요한 인자로 작용할 수 있다.

가막만의 *C. marina*는 성장에 주요인으로 작용한 수온보다 염분에 대해 광범위한 내성을 가지는 것으로 나타났다 (Fig. 2, Table 1). 일반적으로 연안과 하구역의 규조류는 넓은 염분 범위에서 생존이 가능하여, *Thalassiosira pseudonana*의 경우 0-34 psu 이상의 염분범위에서 잘 성장하는 것으로 알려져 있다 (Guillard and Ryther, 1962). *C. marina*의 염분에 대한 내성은 이러한 규조류 보다는 작지만 한국 연안에서 주요 유해적조발생 와편모조류인 *Co. polykrikoides* 보다는 넓은 염분범위에서 성장이 가능한 것으로 나타났다 (Table 2). 또한 현장 출현에 있어서 동 속인 *C. subsalsa* 역시 11-28 psu의 넓은 범위에서 bloom이 확인되었으며 (Zhang et al., 2006), 또 다른 침편모조류인 *Heterosigma akashiwo* 역시 1-50 psu의 광범위한 범위에서 출현하였다 (Smayda, 1998; Zhang et al., 2006). 반면, *Fibrocaps japonica*는 이와 반대로 낮은 온도에 대한 내성 (5°C에서 생존제한)이 있으며, 염분에 대한 내성은 *C. marina*보다 적어 15 psu 아래의 염분에서 성장하지 않은 것으로 나타났다 (Khan et al., 1996). 즉 비교적 광범위한 염분 내성을 갖는 *C. marina*의 생리특성은 하계 담수 및 외부해수 등에 의해 염분 변동이 큰 우리나라 내만과 연안 해역에서 다른 유해성 적조생물과의 중간 경쟁에 유리하게 작용할 것으로 사료된다.

*C. marina*는 최대 광 조건인 300 μmol photons/(m² s)에서 광 저해현상은 보이지 않았다. 하지만 Marshall and Hallegraeff (1999)에 따르면 본 종은 1,000 μmol photons/(m² s)에서 광 저해현상이 나타나며, 1,200 μmol photons/(m² s)에서 마이너스 성장을 보였다. 하계 가막만의 표층해수에 입사하는 최대 광량을 고려할 때 (최대 2,400 μmol photons/(m² s), Noh et al., unpublished), 본 연구의 광 조건보다 약 8배 정도 높다. 따라서 *C. marina*의 광 영향에 따른 더욱 세밀한 생리특성을 알기 위해서는 더 높은 광 조건하에서의 연구가 필수적이라 하겠다. 가막만의 *C. marina*의 I_c 는 11.4 μmol photons/(m² s)로 일본 Suo-Nada 분리주 (10.5 μmol photons/(m² s), Yamaguchi et al., 1991)와 비슷하였지만, 호주 Boston Bay 분리주 보다는 낮은 값 (25 μmol photons/(m² s), Marshall and Hallegraeff, 1999)을 보였다. Marshall and Hallegraeff (1999)는 이와 같은 분리주에 따른 광 이용의 차이에 대해, 비교적 유사한 수온조건을 가지나 빛 요구조건이 다른 아시아(한국, 일본, 중국) 그룹과 호주/뉴질랜드 그룹, 그리고 열대지역 해수인 인도/미국의 Florida

Table 2. The comparison of temperature and salinity ranges for growth of the *Chattonella marina*, *Chattonella* spp. and other dinoflagellates from various environments

Strains(Environments)	MSGR/day	Temperature	Salinity	Reference
<i>Chattonella marina</i>				
Gamak Bay, Korea	0.64	25 ^a ; 15-30 ^b	25 ^a ; 10-35 ^b	This study
Suo-Nada, Seto Inland Sea, Japan	0.56 (0.81*)	25 ^a ; 15-30 ^b	20 ^a ; 10-35 ^b	Yamaguchi et al., 1991
Kagoshima Bay, Japan	0.42 (0.60*)	25 ^a ; 15-30 ^b	20 ^a ; 10-35 ^b	Khan et al., 1998
Boston Bay, Australia	0.33 (0.47*)	25 ^a ; 10-30 ^b	30 ^a ; 15-45 ^b	Marshall and Hallegraeff, 1999
<i>Chattonella</i> spp.				
Suo-Nada, Seto Inland Sea, Japan (<i>C. antiqua</i>)	0.67 (0.97*)	25 ^a ; 15-30 ^b	25 ^a ; 10-35 ^b	Yamaguchi et al., 1991
Hiroshima Bay, Japan (<i>C. verruculosa</i>)	1.21 (1.74*)	15 ^a ; 15-25 ^b	25 ^a ; 15-35 ^b	Yamaguchi et al., 1997
Delaware Inland Bay, USA (<i>C. subsalsa</i>)	0.78	20 ^a ; 4-30 ^b	25 ^a ; 5-30 ^b	Zang et al., 2006
Other HABs dinoflagellates				
Suo-Nada, Japan (<i>Karenia mikimotoi</i>)	0.70 (1.0*)	25 ^a ; 10-30 ^b	25 ^a ; 15-30 ^b	Yamaguchi and Honjo, 1989
Oslofjord Sea, Norway (<i>Gyrodinium aureolum</i>)	0.42 (0.61*)	20 ^a ; 12.5-22.5 ^b	22.3 ^a ; 17.8-34 ^b	Nielsen and Tønseth, 1991
Mikawa Bay, Japan (<i>Alexandrium tamarense</i>)	0.23	15 ^a ; 5-20 ^b	32 ^a ; 10-35 ^b	Yamamoto et al., 1995
Ago Bay, Japan (<i>Heterocapsa circularisquama</i>)	0.90 (1.30*)	30 ^a ; 15-30 ^b	35 ^a ; 10-35 ^b	Yamaguchi et al., 1997
Yeosuhae Bay, Korea (<i>Gymnodinium catenatum</i>)	0.50	25 ^a ; 15-30 ^b	30 ^a ; 15-35 ^b	Oh and Yoon, 2004
Furue Bay, Japan (<i>Cochlodinium polykrikoides</i>)	0.41	25 ^a ; 15-30 ^b	34 ^a ; 20-36 ^b	Kim et al., 2004
Hakozaki Harbor, Japan (<i>Gyrodinium instiatum</i>)	0.49 (0.70*)	25 ^a ; 15-30 ^b	30 ^a ; 5-40 ^b	Nagasoe et al., 2006

MSGR/day, maximum specific growth rate; *Original paper(division/day)

^aMaximum growth rate condition, ^bTotal growth range, ND: no data.

그룹 등 *C. marina*는 두개의 생활양식 또는 세 개의 생태적 표현특성을 갖는다고 제안하고 있다. 한편, 본 종의 I_c 값을 한국 남해에 자주 출현하는 유해성 편모조류와 비교하면, *K. mikimotoi* (일본 Suo-Nada 분리주; Yamaguchi and Honjo, 1989)의 0.7 $\mu\text{mol photons}/(\text{m}^2 \text{s})$ 와 *He. akashiwo* (Takahashi and Hara, 1989)의 1.0 $\mu\text{mol photons}/(\text{m}^2 \text{s})$ 보다 높은 반면, *A. tamarense* (일본 Hiroshima Bay 분리주; Yamamoto et al., 1995)의 45 $\mu\text{mol photons}/(\text{m}^2 \text{s})$ 보다 낮고, *Co. polykrikoides* (일본 Furue Bay 분리주; Kim et al., 2004), *G. catenatum* (한국 여수해 만 strain; Oh and Yoon, 2004)의 10.4 $\mu\text{mol photons}/(\text{m}^2 \text{s})$ 과 유사하였다.

Oh and Yoon (2004)은 우리나라 남해 연안의 평균 투명도로부터 얻어진 소광제수와 해수면 광도 및 실내배양에 따른 I_c 값을 가지고 *G. catenatum*의 성장수심을 14 m로 계산하였다. *C. marina*는 *G. catenatum*과 유사한 I_c 값을 나타내기에 남해 연안에서 *C. marina*의 성장이 가능한 수심 역시 이와 유사한 약 14 m 전후가 될 것으로 추정된다. 아직까지 *C. marina*의 생존전략 중 주야수직이동의 여부는 보고되지 않았지만, 동 속으로서 형태학적 특성 및 cyst 단계를 포함한 생리 특성이 유사한 *C. antiqua* (Imai and Itoh, 1987; Imai et al., 1984, 1991; Yamaguchi et al., 1991; Kahn et al., 1998)의 경우 *Co. polykrikoides*와 *G. catenatum* 등과 같이 빛과 영양염의 효율적 이용을 위해 주야수직이동을 하는 것으로 알려져 있다 (Watanabe et al., 1991, 1995; Bada et al., 2001; Kim et al., 2004). *C. antiqua*의 주야수직이동 속도는 Watanabe et al. (1995)에 의해 일본 Harima-Nada에서 길이 18 m, 직경 5 m 크기의 자연환경과 교류가 가능한 mesocosm에서 관찰되었고, 침강·상승시 속도가 유사한 0.8 m/hr로 산출되었으며

(Watanabe et al., 1995), 명 조건과 거의 동일한 비율로 암 조건에서도 영양염을 흡수 (명 조건의 83-93%)할 수 있는 것으로 나타났다 (Nakamura and Watanabe, 1983). 이로부터 *C. marina* 역시 야간에는 하강하여 저층에서 풍부한 영양염을 흡수하고, 주간에는 상승하여 성장가능 수심 내에서 효율적인 광 이용이 가능할 것으로 추정된다. 다만 본 연구에서 *C. marina*의 주야수직이동 및 성장에 필요한 영양염 흡수동력학 등의 연구가 수행되지 않아 이를 단정할 수 없다.

이와 같은 내용으로부터 수온과 염분 및 광 조건만을 고려 하더라도, 가막만의 *C. marina*는 낮은 광 조건에서 성장이 가능하며, 고온을 선호하는 협온성 그리고 넓은 염분범위에서 성장이 가능한 광염성 생리특성을 갖기에, 하계 높은 수온과 염분의 변동이 큰 특성을 지닌 우리나라 남해와 서해의 내만 및 연안에서 종간 경쟁에 유리한 위치를 차지하여 충분히 우점 가능한 종이라 할 수 있다.

참 고 문 헌

- Ahmed, M.D., O. Arakawa and Y. Onoue. 1995. Toxicity of cultured *Chattonella marina*. In: Harmful Marine Algal Blooms. Lassue, P., G. Arzul, E. Erard, P. Gentien and C. Marcaillou, eds. Lavoisier, New York, 499-504.
- Anderson, D.M. 1989. Physiology and bloom dynamics of toxic *Alexandrium* species, with emphasis on life cycle transitions. In: Physiological Ecology of Harmful Algal Blooms. Anderson, D.M., A.D. Cambella and G.M. Hallegraeff, eds. Springer, Berlin, 29-48.

- Bada, T., S. Hiyama and T. Tainaka. 2001. Vertical migration of the toxic dinoflagellate *Gymnodinium catenatum* and toxicity of cultured oyster in Senzaki Bay, Yamaguchi Prefecture. Bull. Plankton Soc. Jap., 48, 95-99.
- Guillard, R.R.L. 1995. Culture methods. In: Manual on harmful marine microalgae. Hallegraeff, G.M., D.M. Anderson and A.D. Cembella, eds. UNESCO, Paris, 45-62.
- Guillard, R.R.L. and J.H. Ryther. 1962. Studies of marine planktonic diatoms. *Cyclotella nana* Hustedt and *Detonula conjervacea* (Cleve) Gran. Can. J. Microbiol., 8, 222-239.
- Hara, Y., K. Doi and M. Chihara. 1994. Four new species of *Chattonella* (Raphidophyceae, Chromophyta) from Japan. Jpn. J. Phycol., 42, 407-420.
- Hallegraeff, G.M. 1993. A review of harmful algal blooms and their apparent global increase. Phycologia, 32, 79-99.
- Hiroshi, S., H. Okada, I. Imai and T. Yoshida. 2005. High toxicity of the novel bloom forming species *Chattonella ovata* (Raphidophyceae) to cultured fish. Harm. Algae, 4, 783-787.
- Imai, I. and K. Itoh. 1987. Annual life cycle of *Chattonella* spp., causative flagellates of noxious red tides in the Inland Sea of Japan. Mar. Biol., 94, 287-292.
- Imai, I., K. Itoh and M. Anraku. 1984. Distribution of dormant cells of *Chattonella* in Harima-Nada, eastern Seto Inland Sea, and temperature characteristics of germination. Jap. Bull. Plankton Soc., 31, 35-42.
- Imai, I., S. Itakura and K. Itoh. 1991. Life cycle strategies of the red tide causing flagellates *Chattonella* (Raphidophyceae) in the Seto Inland Sea. Mar. Poll. Bull., 23, 165-170.
- Imai, I., K. Itoh and M. Kamizono. 1986. Distribution of dormant cells of *Chattonella* (Raphidophyceae) and occurrence of summer red tide in Suo-Nada, western Seto Inland Sea. Bull. Jap. Soc. Sci. Fish., 52, 1665-1671.
- Itoh, K. and I. Imai. 1987. Raphidophyceae. In: The Japan Fisheries Resources Conservation Association. ed. A Guide for Studies of Red Tide Organisms. Shuwa, Tokyo, 122-130.
- Kahn, S., O. Arakawa and Y. Onoue. 1998. Physiological investigation of a neurotoxin-producing phytoplankton, *Chattonella marina* (Raphidophyceae). Aquacult. Res., 29, 9-17.
- Khan, S., O. Arakawa and Y. Onoue. 1996. Growth characteristics of a neurotoxin producing chloro-monad, *Fibrocapsa japonica* (Raphidophyceae). J. World Aquacult. Soc., 27, 247-253.
- Kim, D.-I., Y. Matsuyama, S. Nagasoe, M. Yamaguchi, Y.H. Yoon, Y. Oshima, N. Imada and T. Honjo. 2004. Effects of temperature, salinity and irradiance on the growth of the harmful red tide dinoflagellate *Cochlodinium polykrikoides* Margalef (Dinophyceae). J. Plankton Res., 26, 61-66.
- Kim, D.-I., S. Nagasoe, Y. Oshima, Y.H. Yoon, N. Imada and T. Honjo. 2004. A massive bloom of *Cochlodinium polykrikoides* in the Yatsushiro Sea, Japan in 2000. In: Harmful Algae 2002. Steidinger, K.A., J.P. Landsberg, C.R. Tomas and G.A. Vargo, eds. UNESCO, Florida, 83-85.
- Kim, D.I., I.H. Noh and Y.H. Yoon. 2005. *Chattonella* spp. (Raphidophyceae), a novel species responsible for the potentially harmful algal blooms in Korean coastal waters. Proc. KOSMEE Fall Annual Meeting, 127-131.
- Lederman, T.C. and P. Tett. 1981. Problems in modeling the photosynthesis-light relationship for phytoplankton. Bot. Mar., 24, 125-134.
- Marshall, J.A., P.D. Nichols, B. Hamilton, R.J. Lewis and G.M. Hallegraeff. 2003. Ichthyotoxicity of *Chattonella marina* (Raphidophyceae) to damselfish (*Acanthochromis polyacanthus*): the synergistic role of reactive oxygen species and free fatty acids. Harm. Algae, 2, 273-281.
- Marshall, J.M. and G.M. Hallegraeff. 1999. Comparative ecophysiology of the harmful alga *Chattonella marina* (Raphidophyceae) from South Australian and Japanese waters. J. Plankton Res., 21, 1809-1822.
- Nagasoe, S., D.I. Kim, Y. Shimasaki, Y. Oshima, M. Yamaguchi and T. Honjo. 2006. Effects of temperature, salinity and irradiance on the growth of the red tide dinoflagellate *Gyrodinium striatum* Freudenthal et Lee. Harm. Algae, 5, 20-25.
- Nakamura, Y., J. Takashima and M. Watanabe. 1988. Chemical environment for red tides due to *Chattonella antiqua* in the Seto Inland Sea, Japan Part 1. Growth bioassay of the seawater and dependence of growth rate on nutrient concentration. J. Oceanogr. Soc. Jap., 44, 113-124.
- Nakamura, Y. and M.M. Watanabe. 1983. Nitrate and phosphate uptake kinetics of *Chattonella antiqua* in light/dark cycles. J. Oceanogr. Soc. Jap., 39, 167-170.
- Nielsen, M.V. and C.P. Tønseth. 1991. Temperature and salinity effect on growth and chemical composition

- of *Gyrodinium aureolum* Hulbert in culture. J. Plankton Res., 13, 389-398.
- Obedrecht, C. and P.C. Abreu. 1995. Raphidophycean in southern Brazil. Harm. Algae News, 12/13, 4.
- Oda, T., A. Ishimatsu, S. Shimada, S. Takeshita and T. Muramatsu. 1992: Oxygen-radical-mediated toxic effects of the red tide flagellate *Chattonella marina* on *Vibrio alginolyticus*. Mar. Biol., 112, 505-509.
- Oh, S.J. and Y.H. Yoon. 2004. Effect of water temperature, salinity and irradiance on the growth of the toxic dinoflagellate, *Gymnodinium catenatum* (Graham) isolated from Yeosuhae Bay, Korea. Algae, 19, 293-301.
- Okaichi, T. 1989. Red tide problems in Seto Inland Sea, Japan. In: Environmental Science and Toxicology. Okaichi, T., D.M. Anderson, T. Nemoto, eds. Red tides: Biology, Elsevier, New York, 137-142.
- Onoue, Y., M.S. Haq and K. Nozawa. 1990. Separation of neurotoxins from *Chattonella marina*. Nippon Suisan Gakkaishi, 56, 695.
- Park, J.S., H.G. Kim and S.K. Lee. 1988. Red Tide occurrence and succession of its causative organisms in Jinhae Bay. Bull. Fish. Res. Dev. Agency, Korea, 41, 1-26.
- Shimada, M., T.H. Murakami, T. Imahayashi, H.S. Ozaki, T. Toyoshima and T. Okaichi. 1983. Effects of sea bloom, *Chattonella antiqua*, on gill primary lamellae of the young yellowtail, *Seriola quinqueradiata*. Acta Histochem. Cytochem., 16, 232-244.
- Smayda, T.J. 1998. Harmful algal blooms: Their eco-physiology and general relevance to phytoplankton blooms in the sea. Limnol. Oceanogr., 42, 1137-1153.
- Subrahmanyam, R. 1954. On the life-history and ecology of *Hornellia marina* gen. et sp. nov., (Chloromonadineae), causing green discoloration of the sea and mortality among marine organisms off the Malabar Coast. Indian J. Fish., 1, 182-203.
- Takahashi, M. and Y. Hara. 1989. Control of diel vertical migration and celldivision rhythm of *Heterosigma akashiwo* by day and night cycles. In: Red Tides. Okaichi, T., D.M. Anderson and T. Nemoto, eds. Elsevier, New York, 265-268.
- Tang, J.Y., D.M. Anderson and D.W.T. Au. 2005. Hydrogen peroxide is not the cause of fish kills associated with *Chattonella marina*: Cytological and physiological evidence. Aqua. Toxicol., 72, 351- 360.
- Tseng, C.K., M.J. Zhou and J.Z. Zou. 1993. Toxic phytoplankton studies in China. In: Toxic Phytoplankton Blooms in the Sea. Smayda, T.J. and Y. Shimizu, eds. Elsevier, New York, 347-352.
- Vrieling, E. G., R.P.T. Koeman, K. Nagasaki, Y. Ishida, L. Peperzak, W.W.C. Gieskes and M. Veenhuis. 1995. *Chattonella* and *Fibrocapsa* (Raphidophyceae): First observation of, potentially harmful, red tide organisms in Dutch coastal waters. Netherl. J. Sea Res., 33, 183-191.
- Watanabe, M., K. Kohata and T. Kimura. 1991. Diel vertical migration and nocturnal up-take of nutrients by *Chattonella antiqua* under stable stratification. Limnol. Oceanogr., 36, 593-602.
- Watanabe, M., K. Kohata, T. Kimura, T. Takamatsu, S. Yamaguchi and T. Ioriya. 1995. Generation of a *Chattonella antiqua* bloom by imposing a shallow nutricline in a mesocosm. Limnol. Oceanogr., 40, 1447-1460.
- Yamaguchi, M. and T. Honjo. 1989. Effect of temperature, salinity and irradiance on the growth of the noxious red tide flagellate *Gymnodinium nagasakiense* (Dinophyceae). Nippon Suisan Gakkaishi, 55, 2029-2036.
- Yamaguchi, M., I. Imai and T. Honjo. 1991. Effect of temperature, salinity and irradiance on the growth of the noxious red tide flagellate *Chattonella antiqua* and *C. marina* (Raphidophyceae). Nippon Suisan Gakkaishi, 57, 1227-1284.
- Yamaguchi, M., S. Itakura, K. Nagasaki, Y. Matsutama, T. Uchida and I. Imai. 1997. Effects of temperature, salinity and irradiance on the growth of the red tide flagellate *Heterocapsa circularisquama* (Dinophyceae) and *Chattonella verruculosa* (Raphidophyceae). J. Plankton Res. 19, 1167-1174.
- Yamamoto, T., Y. Yoshizumi and K. Tarutani. 1995. Effect of Temperature, Salinity and Irradiance on the Growth of Toxic Dinoflagellate *Alexandrium tamarense* isolated from Mikawa Bay, Japan. Jap. J. Phycol., 43, 91-98.
- Zhang, Y., F.X. Fu, E. Wherat, K.J. Coyne and D.A. Hutchins. 2006. Bottom-up controls on a mixed-species HAB assemblage: A comparison of sympatric *Chattonella subsalsa* and *Heterosigma akashiwo* (Raphidophyceae) isolates from the Delaware Inland Bays, USA. Harm. Algae, 5, 310-320.

2006년 8월 30일 접수

2006년 12월 26일 수리